

# TEORIA SPREŻYSTOŚCI I PLASTYCZNOŚCI

## MECHANIKĄ CIAŁA STATEGO

## MECHANIKĄ OŚRODKÓW CIĘGTYCH

zakres ten sam

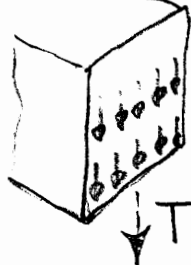
Ujęcie uproszczone - inżynierskie:

1) MECHANIKA BUDOWLI - model układu przewodowego

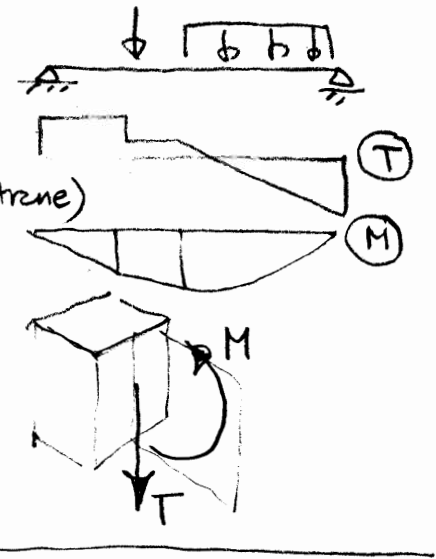
zadanie: siły weewnętrzne, M, T, N w elementach

(przekrój poprzeczny jenoż punkt osi pręta, w nim określone siły weewnętrzne)

2) WYTRZYMAŁOŚĆ MATERIAŁÓW - zadanie: rozkładły naprężen w przekrojach elementów przewodowych



(przekrój poprzeczny jako figura płaska, w tym obszarze 2D określone naprężenie - funkcje dwóch zmiennych)



ZAKRES PRZEDMIOTU (główna część): układy dwuwymiarowe (dżwigany powierzchniowe) - tarcze, płyty

Cel: wielkości statyczne - naprężenie [jedn. siły/jedn. powierzchni]

wielkości określające stan geometryczny -

- przedłużenie [jednostka długości]

- odkształcenie - względne [bezunitarne]

Poniższe wielkości definiowane są w każdym punkcie obiektu - ogólnie są one funkcjami położenia punktu - współrzędnych  $\underline{x} = \{x_1, x_2, x_3\}$  w 3D

Tylko w ujęciu uproszczonym (MB, WM) wielkości te oblicamy w prosty algebraiczny sposób.

W ogólnym ujęciu są to wielkości o charakterze **TENSOROWYM**.

**TENSOR** - ogólna matematyczna kategoria, grupująca zarówno wielkości skalarne, wektorowe jak i bardziej skomplikowane, o większej liczbie składowych. Złożone - przestrzeń euklidesowa 3D z kartezjańskim ukt. wsp. (bazą)  $\underline{x} \equiv x_i$

Rząd tensora (walecji) - liczba indeksów (udnych) definiujących dany wielkość

Tensor walecji 0 - skalar - jedna liczba (masa, temperatura)

Tensor walecji 1 - wektor - trzy składowe  $\underline{u} \equiv u_i$  (np. położenie punktu)

Tensor walecji 2 - w danym ukt. wsp. macierz  $\underline{\underline{A}} \equiv A_{ij}$  - 9 składowych

Tensor walencji  $n$  zawiera  $3^n$  składowych

Dwojek zapis wielkości tensorowych:

- wskaźnikowy (indeksowy) - liczba indeksów swobodnych jest walencją:  $A_{ij} B_{jk}$

- absolutny :  $\underline{a}, \underline{B}$  (umowne: wektory mamy literami,  $a_i = a_k = a$   
laiwnawczość:  $\underline{a} = a_i, \underline{B} = B_{jk}$  tensor wyższych rzędów - wielkimi)

Umowne sumacyjne Einsteina - gdy w wyrażeniu jednomianowym indeks występuje dwukrotne, względem którego następuje sumowanie (jest to tzw. indeks niemy, nie występuje w wyrażeniu wynikowym)

$$\text{np. } a_i b_i = a_1 b_1 + a_2 b_2 + a_3 b_3 = c \rightarrow \text{liczba}$$

$$A_{ij} c_j = A_{i1} c_1 + A_{i2} c_2 + A_{i3} c_3 = d_i \rightarrow \text{wektor}$$

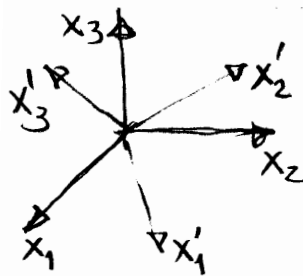
$$A_{ij} u_i u_j = A_{11} u_1^2 + A_{12} u_1 u_2 + \dots = K \rightarrow \text{liczba (2 składowe)}$$

$$p_i = K_{ij} q_j \quad \text{tzw. forma kwadratowa macierzy } \underline{A} \text{ ze względu na wektor } \underline{u}$$

Stąd indeksy swobodne to indeksy (wskaźniki) obecne w wyrażeniu wynikowym jednokrotne

Podstawowe własność wielkości tensorowych (dolnej walencji):

przy zmianie układu współrzędnych (obrót) ich współrzędne transformują się zgodnie ze ścisłymi przesunięciami



Przejście z układu  $Ox_1 x_2 x_3$  do układu  $Ox'_1 x'_2 x'_3$  opisane jest macierzą obrótu  $\underline{A} = A_{ij}$ , gdzie  $A_{ij} = \cos(x'_i, x_j)$

Transformacje współrzędnych wektora przy zmianie układu wsp.

$$u'_i = A_{ij} u_j \quad (u' = \underline{A} u)$$

Transformacje współrzędnych tensora walencji  $\underline{\Pi}$ :  $T'_{ij} = A_{ik} A_{jl} T_{kl}$  ( $T' = \underline{A} \underline{\Pi} \underline{A}^\top$ )  
można uogólnić na tensora wyższych rzędów.

PRZYPADEK TENSORA WALENCIJI  $\underline{\Pi}$  - PROBLEM WTASNY  
(analogie do problemu własnego macierzy)

Dany jest tensor  $\underline{A} = A_{ij}$ , szukamy wektora  $p = p_j \neq \underline{0}$  takiego, że  $\underline{A} \underline{p} = \lambda \underline{p}$   
gdzie  $\lambda$  jest mnożnikiem. Postać

$$(\underline{A} - \lambda \underline{I}) \underline{p} = \underline{0}$$

daje w rezultacie równanie algebraiczne  $\det(\underline{A} - \lambda \underline{I}) = 0$  (\*)

trzy rozwiązańka  $\lambda_i$  (wartości własne tensora  $\underline{A}$ ) i odpowiadające im wektory  $p_j$  (wektory własne).

Równanie (\*) może być przedstawione w postaci:  $\lambda^3 - I_A \lambda^2 + II_A \lambda - III_A = 0$

gdzie  $I_A = \text{tr } \underline{A} = A_{ii} = A_{11} + A_{22} + A_{33}$   
 $II_A = \frac{1}{2} [(\text{tr } \underline{A})^2 - \text{tr } \underline{A}^2] = |A_{11} \quad A_{12} \quad A_{13}| + |A_{21} \quad A_{22} \quad A_{23}| + |A_{31} \quad A_{32} \quad A_{33}|$   
 $III_A = \det \underline{A}$

Wspomnieniowi tensora walencji  $\underline{\Pi}$

Unormowane wektory  $\hat{P}^{(1)}, \hat{P}^{(2)} \text{ i } \hat{P}^{(3)}$  tworzą ortonormalną TS sz w 3 bazie.

Tensor  $\tilde{A} \equiv A_{ij} = \begin{bmatrix} A_{11} & A_{12} & A_{13} \\ A_{21} & A_{22} & A_{23} \\ A_{31} & A_{32} & A_{33} \end{bmatrix}$  w bazie tej ma postać  $\begin{bmatrix} \lambda_1 & 0 & 0 \\ 0 & \lambda_2 & 0 \\ 0 & 0 & \lambda_3 \end{bmatrix}$

tek wtc  $I_A = \lambda_1 + \lambda_2 + \lambda_3, II_A = \lambda_1\lambda_2 + \lambda_1\lambda_3 + \lambda_2\lambda_3, III_A = \lambda_1\lambda_2\lambda_3$

Ponowny tensor walengii  $\tilde{I}$  można rozłożyć na tzw. część kuliową i deviator

$$\begin{bmatrix} A_{11} & & \\ \vdots & A_{22} & \\ & & A_{33} \end{bmatrix} = \begin{bmatrix} p & 0 & 0 \\ 0 & p & 0 \\ 0 & 0 & p \end{bmatrix} + \begin{bmatrix} \text{reszta} \end{bmatrix}$$

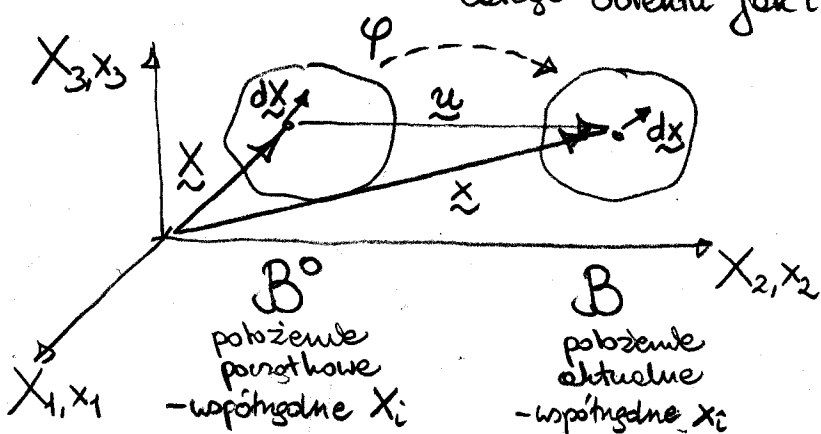
$$\tilde{A} = P \tilde{I} + S$$

$$p = \frac{1}{3}(A_{11} + A_{22} + A_{33}) = \frac{1}{3}A_{ii} = \frac{1}{3}\text{tr} \tilde{A}$$

## DEFORMACJA OSRODKA CIAGLEGO

deformacje - całkowite zmiana stanu geometrycznego obiektu

- dwa sklechniki : 1) translacja i obrót jeśli dla były sztywnej  
2) zmiana wymiarów i kształtu, tzn globalne w skali całego obiektu jak i lokalne, w okolicy danego punktu



w chwili początkowej dany punkt ma współrzędne \$X\_i\$ (\$i=1,2,3\$), w chwili aktualnej ma współrzędne \$x\_i\$ (\$i=1,2,3\$)

Deformacje - przekształcenie \$\varphi\$ konfiguracji \$B^0\$ w konfigurację \$B\$, inaczej: współrzędnych \$X\_i\$ we wsp. \$x\_i\$

Dwie formy opisu deformacji :

- 1) ruch wybranego odcinki cieka (np. punktu na osi belki), współrzędne aktualne w funkcji współrzędnych początkowych  $\tilde{x} = \varphi(x) \rightarrow \text{OPIS MATERIAŁNY (Lagrange'a)}$

Opis ten odnosi się do współrzędnych początkowych, współrzędne te zwane są tzw. materiałnymi lub tzw. Lagrange'a

- 2) obserwacje wybranego punktu przestrzeni (np. przepływ cieczy przez okostny punkt)  
- w punkcie tym, o współrzędnych \$X\_i\$ mogą pojawiać się różne odcinki, o różnych współrzędnych aktualnych \$x\_i\$, stąd  $X = g(x)$  [lub  $\tilde{x} = \varphi^{-1}(x)$ ]

Jest to OPIS PRZESTRZENNY (Eulera), odnosi się do współrzędnych aktualnych, znanych współrzędnymi przestrzennymi bądź tzw. Eulera

Elementarny odcinek (wektor)  $\tilde{d}\tilde{x}$  przyjmuje oktudukie postać  $d\tilde{x}$ . Zachodzi:  $d\tilde{x} = \tilde{F} d\tilde{x}$ , materiałny gradient deformacji,

$$\tilde{F} \equiv F_{ij} = \frac{\partial x_i}{\partial \tilde{x}_j} = \begin{bmatrix} \frac{\partial x_1}{\partial \tilde{x}_1} & \frac{\partial x_1}{\partial \tilde{x}_2} & \frac{\partial x_1}{\partial \tilde{x}_3} \\ \vdots & \ddots & \vdots \\ \vdots & \ddots & \vdots \end{bmatrix}$$

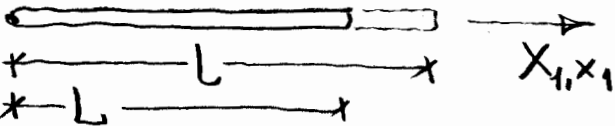
liniowa forma (przybliżenie) odwzorowania  $\tilde{f}$

Miary zmian stanu geometrycznego: tensor deformacji Greena  $\tilde{C} = \tilde{F}^T \tilde{F}$   
 $C_{ik} = F_{ji} F_{jk}$  tensor odkształceń Lagrange-Greena  $\tilde{E} = \frac{1}{2}(\tilde{C} - \tilde{I})$

UWAGA: Gradient deformacji  $\tilde{F}$  nie musi być symetryczny - może zgić  $\tilde{F} \neq \tilde{F}^T$   
 oba tensora  $\tilde{C}$  i  $\tilde{E}$  są symetryczne ( $\tilde{C} = \tilde{C}^T$ ,  $\tilde{E} = \tilde{E}^T$ )

Mozna uproszczyć miary zmian stanu geometrycznego także w opisie prostremym:  
 -tensor deformacji Cauchy  $\tilde{C} = (\tilde{F} \tilde{F}^T)^{-1}$   
 -tensor odkształceń Euler-Almansi  $\tilde{e} = \frac{1}{2}(\tilde{I} - \tilde{C})$

Rozciąganie jednoosiowe (bez zmian pozostałych wymiarów)



$$x_1 = \frac{L'}{L} X_1 = \lambda X_1 \quad \lambda = \frac{L'}{L} - \text{rozciąganie (stretch)}$$

Gradient deformacji  $\tilde{F}$ :

$$F_{11} = \frac{\partial x_1}{\partial \tilde{x}_1} = \lambda, F_{22} = F_{33} = 1, \text{ pozostałe zerowe}$$

Opis materiałny: z tensora deformacji Greena  $\tilde{C}$   $\rightarrow C_{11} = \lambda^2$   
 z tensora odkształceń Lagrange-Greena  $\tilde{E}$   $\rightarrow E_{11} = \frac{1}{2}(\lambda^2 - 1)$

Opis prostremy: z tensora deformacji Cauchy  $\tilde{C}$   $\rightarrow C_{11} = \frac{1}{\lambda^2}$   
 z tensora odkształceń Euler-Almansi  $\tilde{e}$   $\rightarrow e_{11} = \frac{1}{2}(1 - \frac{1}{\lambda^2})$

PRZYKŁAD - SKONCZONA DEFORMACJA

Wyrażenie mier odkształceń (tensorów odkształceń) przez premieszczenia

Opis materiałny materiałny gradient premierzrenne  $\nabla \tilde{u} = \frac{\partial u_i}{\partial \tilde{x}_j} = \begin{bmatrix} \frac{\partial u_1}{\partial \tilde{x}_1} & \frac{\partial u_1}{\partial \tilde{x}_2} & \cdot \\ \vdots & \vdots & \vdots \\ \vdots & \vdots & \vdots \end{bmatrix}$  macierz (tensor  $\tilde{u}$  walencji)

Ponieważ  $\tilde{u} = \tilde{x} - x$  więc  $\nabla \tilde{u} = \tilde{F} - I$ ,  $\tilde{F} = \nabla \tilde{u} + I$

więc  $\tilde{C} = \tilde{F}^T \tilde{F} = I + \nabla \tilde{u} + \nabla \tilde{u}^T + \nabla \tilde{u}^T \nabla \tilde{u}$

$$\tilde{E} = \frac{1}{2}(\tilde{C} - I) = \frac{1}{2}(\nabla \tilde{u} + \nabla \tilde{u}^T + \nabla \tilde{u}^T \nabla \tilde{u})$$

Opis przestrzennyprzestrzenny gradient  
pomięzczenia

$$\nabla \underline{u} = \frac{\partial u_i}{\partial x_j} = \dots$$

TS SZ W 5

$$\underline{u} = \underline{x} - \underline{X}, \text{ wic } \underline{F}^{-1} = \mathbf{I} - \nabla \underline{u}$$

$$\underline{F}^{-1} = \frac{\partial \underline{x}_i}{\partial x_j}$$

$$\text{stąd } \underline{\xi} = (\underline{F} \underline{F}^T)^{-1} = \mathbf{I} - \nabla \underline{u} - \nabla \underline{u}^T + \nabla \underline{u}^T \nabla \underline{u}$$

$$\underline{\epsilon} = \frac{1}{2}(\underline{\xi} - \underline{\xi}^T) = \frac{1}{2}[\nabla \underline{u} + \nabla \underline{u}^T - \nabla \underline{u}^T \nabla \underline{u}]$$

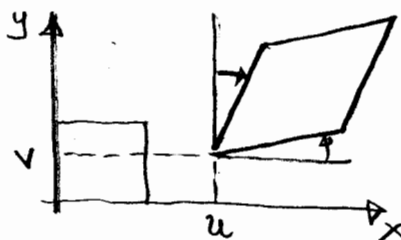
Założenie: - małe odkształcenie ( $\nabla \underline{u} \ll 1, \nabla \underline{u}^T \ll 1$ ) - pomijamy składowiki niewielkie  
 - małe pomierzczanie ( $\underline{X} \approx \underline{x}$ )  $\Rightarrow \nabla \underline{u} \approx \nabla \underline{u}$

Wtedy w przybliżeniu jest  $\underline{\epsilon} = \underline{\epsilon} = \frac{1}{2}(\nabla \underline{u} + \nabla \underline{u}^T) = \underline{\epsilon}$  - tensor małych odkształceń

**B. WAŻNE RÓWNANIA - ZWIĄZKI KINEMATYCZNE**

$$\epsilon_{ij} = \frac{1}{2}\left(\frac{\partial u_i}{\partial x_j} + \frac{\partial u_j}{\partial x_i}\right) = \frac{1}{2}(u_{i,j} + u_{j,i})$$

Nawiązanie do kursu Wytrzymałości Materiałów:



$$\epsilon_x = \frac{\partial u}{\partial x}, \epsilon_y = \frac{\partial v}{\partial y}, \gamma_{xy} = \frac{\partial u}{\partial y} + \frac{\partial v}{\partial x}$$

$$\epsilon_{11} = \frac{\partial u_1}{\partial x_1}, \epsilon_{22} = \frac{\partial u_2}{\partial x_2}, \epsilon_{12} = \epsilon_{21} = \frac{1}{2}\left(\frac{\partial u_1}{\partial x_2} + \frac{\partial u_2}{\partial x_1}\right) \rightarrow \frac{\gamma_{xy}}{2}$$

**PROBLEM WŁASNY TENSORA MAŁYCH ODŞSZTAŁCEN**

Z wektorem  $(\underline{\epsilon} - \underline{\epsilon} \mathbf{I}) \underline{n} = \underline{0}$  wynika, że mierzony wektor  $\underline{n} \neq \underline{0}$   
 istnieje wtedy, gdy  $\det(\underline{\epsilon} - \underline{\epsilon} \mathbf{I}) = 0 \rightarrow$  równanie  $\epsilon^3 - I_\epsilon \epsilon^2 + II_\epsilon \epsilon - III_\epsilon = 0$   
 gdzie  $I_\epsilon = \text{tr } \underline{\epsilon} = \epsilon_{ii}$ ;  $II_\epsilon = \frac{1}{2}[(\text{tr } \underline{\epsilon})^2 - \text{tr } \underline{\epsilon}^2]$ ,  $III_\epsilon = \det \underline{\epsilon}$

rozwiązań - trzy wartości  $\epsilon^{(1)}, \epsilon^{(2)}, \epsilon^{(3)}$  i odpowiadające im wektory  $\underline{n}^{(1)}, \underline{n}^{(2)}, \underline{n}^{(3)}$   
-ODŞSZTAŁCENIA GŁÓWNE

KIERUNKI GŁÓWNE

Unormowane wektory  $\underline{n}^{(i)}$  tworzą macierz obrotu  $\mathbf{A}$ , wokół której transformacji tensor wyjściowy  $\underline{\epsilon}$  przyjmuje diagonalną postać  $\underline{\epsilon}' = \begin{bmatrix} \epsilon^{(1)} & 0 & 0 \\ 0 & \epsilon^{(2)} & 0 \\ 0 & 0 & \epsilon^{(3)} \end{bmatrix}$ .

Interpretacja: w układzie kierunków głównych [wektorów  $\underline{n}^{(i)}$ ] w reprezentacyjnym stanie istnieje jedynie odkształcenia podłużne - zmiana wymiaru, brak odkształceń pośrednich.

Odkształcenie w danym stanie w kierunku danego wektora  $\underline{n}$

obliczamy:  $\epsilon^{(i)} = \underline{n}^T \underline{\epsilon} \underline{n}$  ( $\epsilon^{(i)} = \epsilon_{ij} n_i n_j$ )

forma kinematyczna

PRZYKŁAD: DANE  $\nabla \underline{u}$ , OBLICZYĆ ODŞSZTAŁCENIA GŁÓWNE I ICH KIERUNKI

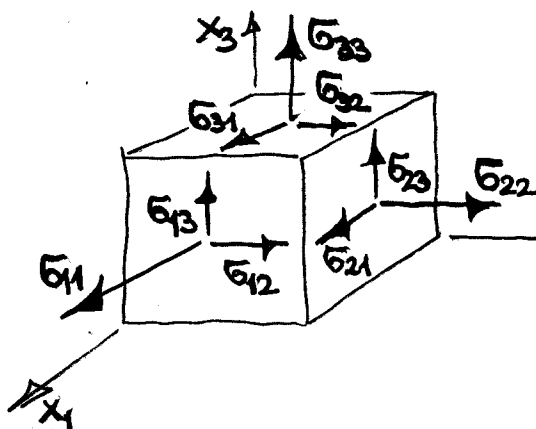
# RÓWNAŃA NIEROZDZIELNOŚCI (CIĄGŁOŚCI) W $\mathbb{R}^3$ TS S2 W 6

Konsekwencje związków kinematycznych sg równanie wiążące poszczególne składowe tensora małych odkształceń  $\tilde{\xi} \equiv \xi(x_1, x_2, x_3)$

Zapis ogólny:  $\varepsilon_{ijk,l} + \varepsilon_{kli,j} - \varepsilon_{ikl,j} - \varepsilon_{jkl,i} = 0$

(np.  $\varepsilon_{12,13} = \frac{\partial^2 \xi_{12}}{\partial x_1 \partial x_3}$ ) ogólnie powinno być 81 równań, jednak tylko 6 niezależnych  
Na prostypodstęcie - jedno:  $\varepsilon_{11,22} + \varepsilon_{22,11} - 2\varepsilon_{12,12} = 0$

## OPIS STANU NAPREŻENIA



Mendolita symbolika  $\tilde{\sigma} \equiv \sigma_{ij}$

"i" - os prostopadła do ścianki  
"ij" - kierunek składowej

Tensor naprężen  
Cauchy

$$\tilde{\sigma} \equiv \sigma_{ij} = \begin{bmatrix} \sigma_{11} & \sigma_{12} & \sigma_{13} \\ \sigma_{21} & \sigma_{22} & \sigma_{23} \\ \sigma_{31} & \sigma_{32} & \sigma_{33} \end{bmatrix}$$

W innym prostokątnym układzie współrzędnych, określonym macierzą obrotu  $A \equiv A_{ij}$  (ortogonalna), tensor naprężen przyjmuje postać

$$\tilde{\sigma}' = A \tilde{\sigma} A^T \quad (\sigma_{ij} = A_{ik} \sigma_{kl} A_{jl})$$

Gdy znany jest tensor  $\tilde{\sigma} \equiv \sigma_{ij}$ , wektor naprężenia na ścianie

o normalnej  $\tilde{n} \equiv n_k$  ma postać:  $\tilde{t} = \tilde{\sigma}^T \tilde{n}$  ( $t_i = \sigma_{ji} n_j$ )

Jest to tzw. postułat Cauchy ĆWICZENIE: zbadać przypadek  $\tilde{n} = \tilde{\xi}$

Równanie równowagi ośrodka ciągkiego (lokalnie, w otoczeniu punktu)

Suma rurów:  $\operatorname{div} \tilde{\sigma}^T + g \tilde{b} = Q$ , wskaźnikowo:  $\sigma_{ij,j} + g b_i = 0$

$\tilde{\sigma} \equiv \sigma_{ij}$  - tensor naprężen Cauchy

$\tilde{b} \equiv b_k$  - wektor sił objętościowych

ĆWICZENIE: rozpisać

Suma momentów:  $\tilde{\sigma} = \tilde{\sigma}^T$ , wskaźnikowo  $\sigma_{ij} = \sigma_{ji}$

Zgodnienie TS sg statyczne nieniuzasadne - z samych równań równowagi nie wyrusza się rozwiążenie ( $\tilde{\sigma}, \tilde{\xi}, \tilde{b}$ )

Naprężenia główne i ich kierunki

ZADANIE: ustalić prostypodstęcie przekroju tak, aby  $\tilde{t} \parallel \tilde{n}$  (wektor naprężenie normalny)

Zapis  $\tilde{t} = \tilde{\sigma} \tilde{n} = \tilde{\sigma} \tilde{\xi} \Rightarrow (\tilde{\sigma} - \tilde{\sigma} I) \tilde{\xi} = Q$ , rozwiążając  $\tilde{\xi} \neq Q$  wtedy,  
gdy  $\det(\tilde{\sigma} - \tilde{\sigma} I) = 0 \Rightarrow$  równanie algebraiczne  $\tilde{\sigma}^3 - I_3 \tilde{\sigma}^2 + I_2 \tilde{\sigma} - I_1 = 0$

gdzie  $I_5 = \text{tr } \tilde{\xi} = \xi_{ii}$ ;  $\mathbb{I}_5 = \frac{1}{2}[(\text{tr } \xi)^2 - \text{tr } \xi^2] = \frac{1}{2}(\xi_{ii}\xi_{jj} - \xi_{ij}\xi_{ji})$  TS sz W 7  
 $\mathbb{III}_5 = \det \tilde{\xi} \rightarrow \text{NIEZMIENNIKI TENSORA } \tilde{\xi}$

Rozwiązań równanie - wartości własne (napięcia główne)  $\xi^{(i)}$ ,  $i=1,2,3$   
i odpowiadające im wektory własne (kierunki napięć głównych)  $\eta^{(i)}$ ,  $i=1,2,3$

Reprezentacja tensora napięć  $\tilde{\xi}$  w układzie kierunków głównych

(w bazie wektorów własnezych)

$$\tilde{\xi}' = \begin{bmatrix} \xi^{(1)} & 0 & 0 \\ 0 & \xi^{(2)} & 0 \\ 0 & 0 & \xi^{(3)} \end{bmatrix} = \text{diag}(\xi^{(i)}) \quad \left| \begin{array}{l} I_5 = \xi^{(1)} + \xi^{(2)} + \xi^{(3)} \\ \mathbb{I}_5 = \xi^{(1)}\xi^{(2)} + \xi^{(2)}\xi^{(3)} + \xi^{(3)}\xi^{(1)} \\ \mathbb{III}_5 = \xi^{(1)}\xi^{(2)}\xi^{(3)} \end{array} \right.$$

Ćwiczenie matematyczne: dana jest dowolna macierz  $A = A_{ij}$

- rozpisać równanie  $\det(A - \lambda I) = 0$  jako wielomian stopnia 3 względem  $\lambda$ , ustalić
- odczytać dwa wektory własne  $\mathbb{I}_A = \frac{1}{2}[(\text{tr } A)^2 - \text{tr } A^2]$ , tą samą wartość w sposób ukościenny  $\mathbb{II}_A = \frac{1}{2}[A_{ii}A_{jj} - A_{ij}A_{ji}]$  a następnie sprawdzić, aby jest ona równoważna sumie tzw. minorów głównych (opartych na głównej przekątnej)

Tensor napięć Cauchy można przedstawić jako sumę tzw. tensora kulistego i deviatora

ZADANIE → 3,4

$$\tilde{\xi} = \xi_m \mathbb{I} + \tilde{s} \quad (\xi_{ij} = \xi_m \delta_{ij} + s_{ij}) \quad \left| \begin{array}{l} \text{nietrivienniki} \\ I_s = \det \tilde{s} = 0 \\ \mathbb{II}_s = -\frac{1}{2} s_{ij} s_{ij} \end{array} \right.$$

Mogą wykroczyć, że przy ustaleniu napięć głównych  $\xi^{(1)} \geq \xi^{(2)} \geq \xi^{(3)}$   
wartość  $\xi^{(1)}$  jest największym, zaś  $\xi^{(3)}$  najmniejszym, spośród wszystkich  
napięć normalnych w danym punkcie (dowód → ekstrema funkcji wielu zmiennych,  
metoda mnożników Lagrange'a)

## RÓWNANIA KONSTYTUTYWNE (równania materiałowe, związki fizyczne)

Zależności  $\tilde{\xi} \leftrightarrow \xi$  thorzone dla poszczególnych materiałów i weryfikowane na drodze eksperymentu.

Są jedyną formą opisu materiału → opis stanu napięcia i stanu deformacji jest jednakowy we wszystkich materiałach

W ogólnym przypadku zależności  $\tilde{\xi} \leftrightarrow \xi$  zależy od historii obciążenia. materiał z pamięcią  
Gdy zależności takiej brak → materiały sprężyste - istnieje wzajemnie odwzajemne zależności  $\tilde{\xi} = f(\xi)$  i  $\xi = g(\tilde{\xi}) = f^{-1}(\tilde{\xi})$

Materiał liniowo-sprężysty: zależności między wszystkimi składowymi liniowe

$$\tilde{\xi} = C \cdot \xi \quad (\text{dzielone tensorowe})$$

$$\xi_{ij} = C_{ijkl} \epsilon_{kl}$$

$\tilde{\xi} \equiv \xi_{ij}$  - tensor napięć Cauchy

$\xi \equiv \epsilon_{ij}$  - tensor małych odkształceń

$$C \equiv C_{ijkl} - \text{tensor stałych sprężystych} - \text{ogółem 81 składowych}$$

Symetryczne tensorów  $\tilde{\xi}$  i  $\tilde{\varepsilon} \rightarrow$  36 składowych tensora  $\tilde{\zeta}$  TS sz W 8

Zwizzek  $\tilde{\sigma}_{ij} = C_{ijkl} \tilde{\varepsilon}_{kl}$  z 36 stałymi thory tzw. uogólnione prawo Hooke'a w ośrodku anizotropowym (możliwość:  $\tilde{\xi}$  i  $\tilde{\varepsilon}$  - wektor  $6 \times 1$ ,  $\tilde{\zeta}$  - macierz  $6 \times 6$ )

Spśród 36 stałych 21 jest niezależnych

- materiał ortotropowy - trzy wzajemnie prostopadłe płaszczyzny symetrii  $\rightarrow$  9 stałych
- izotropia poprzeczna (symetria obrotowa względem jednej osi)  $\rightarrow$  5 stałych
- izotropia - w każdym kierunku wartości jednakowe  $\rightarrow$  2 stałe

Zapis zwizków fizycznych liniowej teorii sprężystości - ciało izotropowe

$$\tilde{\zeta} = \lambda \tilde{I} \operatorname{tr} \tilde{\xi} + 2\mu \tilde{\xi} \quad (\tilde{\sigma}_{ij} = \lambda \delta_{ij} \varepsilon_{kk} + 2\mu \varepsilon_{ij}) \quad \begin{matrix} \lambda, \mu - \\ \text{stałe Lame} \end{matrix}$$

$$\tilde{\xi} = \frac{1}{2\mu} \tilde{\zeta} - \frac{\lambda}{2\mu(3\lambda+2\mu)} \tilde{I} \operatorname{tr} \tilde{\zeta} \quad (\varepsilon_{ij} = \frac{1}{2\mu} \tilde{\sigma}_{ij} - \frac{\lambda}{2\mu(3\lambda+2\mu)} \delta_{ij} \tilde{\varepsilon}_{kk})$$

Stałe Lame można wyrazić względem stałych technicznych  $E, \nu$

$$\lambda = \frac{E\nu}{(1+\nu)(1-2\nu)}, \mu = \frac{E}{2(1+\nu)} = G$$

$$\tilde{\xi} = \frac{1+\nu}{E} \tilde{\zeta} - \frac{\nu}{E} \tilde{I} \operatorname{tr} \tilde{\zeta} \quad (\varepsilon_{ij} = \frac{1+\nu}{E} \tilde{\sigma}_{ij} - \frac{\nu}{E} \delta_{ij} \tilde{\varepsilon}_{kk})$$

$$\tilde{\zeta} = \frac{E\nu}{(1+\nu)(1-2\nu)} \tilde{I} \operatorname{tr} \tilde{\xi} + \frac{E}{1+\nu} \tilde{\xi} \quad (\tilde{\sigma}_{ij} = \frac{E\nu}{(1+\nu)(1-2\nu)} \delta_{ij} \varepsilon_{kk} + \frac{E}{1+\nu} \varepsilon_{ij})$$

Bilans równań i niemiarowych ogólnego zagadnienia teorii sprężystości

Niemiarome:

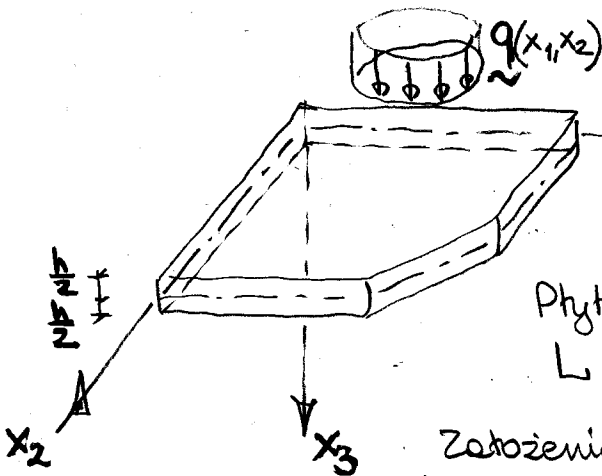
- symetryczny tensor metryczny odkształceń  $\tilde{\xi}$   
 $\rightarrow$  6 składowych
- symetryczny tensor naprężeń Cauchy  $\tilde{\zeta}$   
 $\rightarrow$  6 składowych
- wektor przemieszeń  $\tilde{u} \rightarrow$  3 składowe

Równania:

- warunki równowagi  $\operatorname{div} \tilde{\zeta}^T + g \tilde{b} = 0$   
 $\rightarrow$  3 równanie
- zwizki kinematyczne  $\tilde{\xi} = \frac{1}{2}(\nabla \tilde{u} + \nabla \tilde{u}^T)$   
 $\rightarrow$  6 równań
- relacje konstytutywne  $\tilde{\zeta} = \lambda \tilde{I} \operatorname{tr} \tilde{\xi} + 2\mu \tilde{\xi}$   
 $\rightarrow$  6 równań

# ELEMENTY TEORII PŁYT

TS SZ W 9



Płyta - dźwignia powierzchniowy

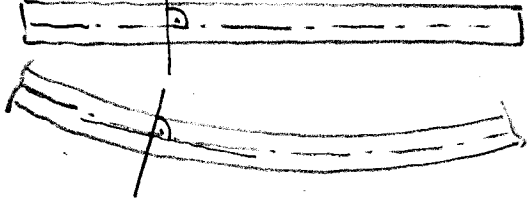
Powierzchnie średnios - płaskozyczne

Obciążenie - prostopadły do pt. średkowej  
(różnica w stosunku do tarczy)

Płyta cienka:  $h \ll L$ , przyjęcie  $h < \frac{L}{5}$   
 $L$  - mniejszy wymiar w planie ( $x_1, x_2$ )

Założenie Kirchhoffa: odcinek prostopadły do powierzchni średkowej płyty przed ugięciem jest również prostopadły do płaszczyzny stycznej do pow. średkowej po ugięciu

(analogie do założenia płaskich przekrojów w belkach)

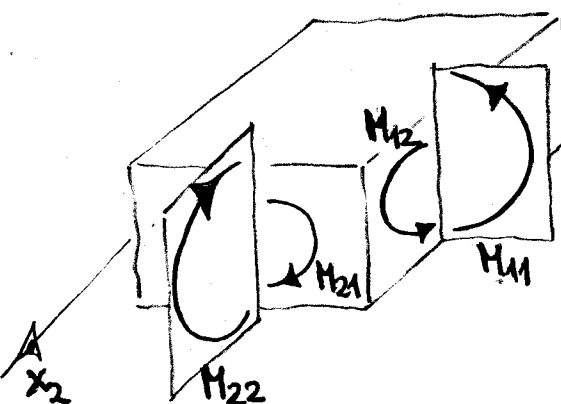


Wektor przeniesień punktów powierzchni średkowej  $\tilde{u} = \{u \ v \ w\}^T$  - najwłaściwsze znaczenie ma ugięcie  $w = w(x_1, x_2)$

Z kompletu równań podstawowych teorii sprężystości (zw. kinematyczne, relacje konstytutywne, równanie ruchu) wynika równanie różniczkowe płyt z niewiadomą funkcją  $w(x_1, x_2)$ :  $\nabla^4 w = \Delta(\Delta w) = \frac{q(x_1, x_2)}{D}$ ,  $D = \frac{Eh^3}{12(1-\nu^2)}$

$$\text{rozwiniecie: } \frac{\partial^4 w}{\partial x_1^4} + 2 \frac{\partial^4 w}{\partial x_1^2 \partial x_2^2} + \frac{\partial^4 w}{\partial x_2^4} = \frac{q(x_1, x_2)}{D} \quad \text{lub} \quad w_{,1111} + 2w_{,1122} + w_{,2222} = \frac{q(x_1, x_2)}{D}$$

Sily przekojowe w płytach - definicje (układ kartezjański)



Momenty zginające i skręcające [ $\frac{kNm}{m}$ ]

$$M_{11} = -D \left( \frac{\partial^2 w}{\partial x_1^2} + \nu \frac{\partial^2 w}{\partial x_2^2} \right) = -D(w_{,11} + \nu w_{,22})$$

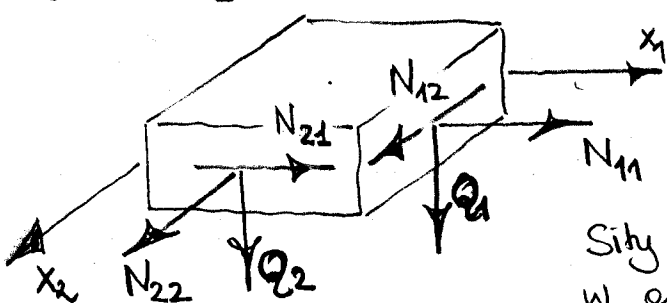
$$M_{22} = -D \left( \frac{\partial^2 w}{\partial x_2^2} + \nu \frac{\partial^2 w}{\partial x_1^2} \right) = -D(w_{,22} + \nu w_{,11})$$

$$M_{12} = M_{21} = -(1-\nu) D \frac{\partial^2 w}{\partial x_1 \partial x_2} = -(1-\nu) D w_{,12}$$

Sily tnące (poprzeczne) [ $\frac{kN}{m}$ ]

$$Q_1 = -D \frac{\partial}{\partial x_1} (\nabla^2 w)$$

$$Q_2 = -D \frac{\partial}{\partial x_2} (\nabla^2 w)$$



Sily normalne i styczne  $N_{11}, N_{22}, N_{12} = N_{21}$   
w analizie płyt pomijane (ster tenzory)

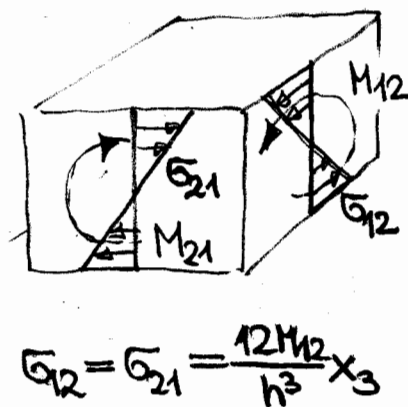
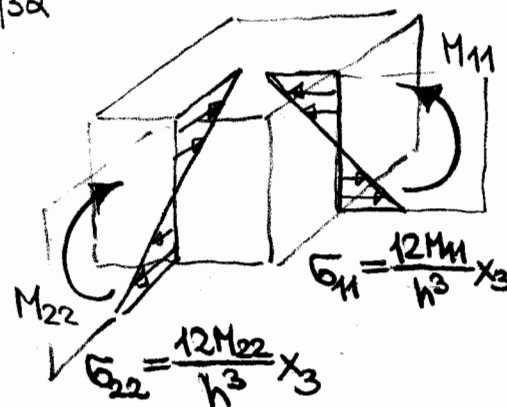
Definicje sił pionowych jako wynikowych naprężen: TS sz W 10

$$M_{\alpha\beta} = \int_{-\frac{h}{2}}^{\frac{h}{2}} G_{\alpha\beta} x_3 dx_3 = M_{\beta\alpha}$$

$$Q_\alpha = \int_{-\frac{h}{2}}^{\frac{h}{2}} G_{\alpha 3} dx_3$$

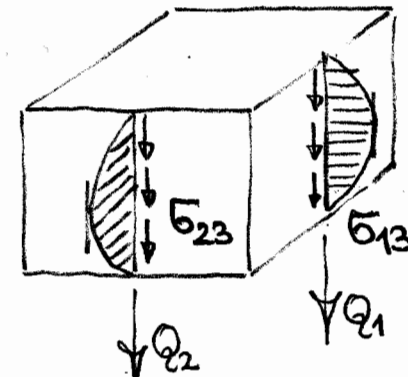
$$N_{\alpha\beta} = \int_{-\frac{h}{2}}^{\frac{h}{2}} G_{\alpha\beta} dx_3 = N_{\beta\alpha}$$

$$\alpha, \beta = 1, 2$$



W płytach zachodzi

$$|G_{i3}| \ll |G_{\alpha\beta}|, \quad i=1,2,3, \quad \alpha, \beta = 1, 2$$



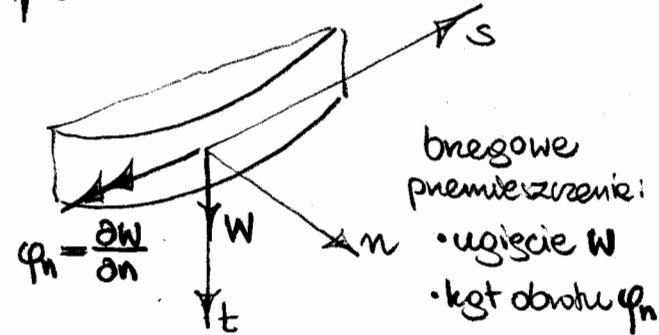
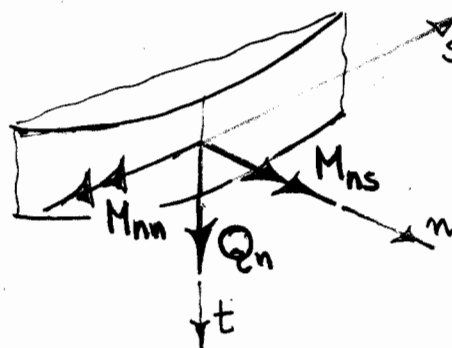
$$mQ \times G_{13} = \frac{3}{2} \frac{Q_1}{h}$$

$$mQ \times G_{23} = \frac{3}{2} \frac{Q_2}{h}$$

Warunki biegowe:

biegowe wartości  
sił pionowych

$$M_{nn}, M_{ns}, Q_n$$



Występuje pięć biegowych wielkości (stacyjnych i geometrycznych), zapisać można jedynie cztery warunki biegowe – równanie czwartego rzędu.

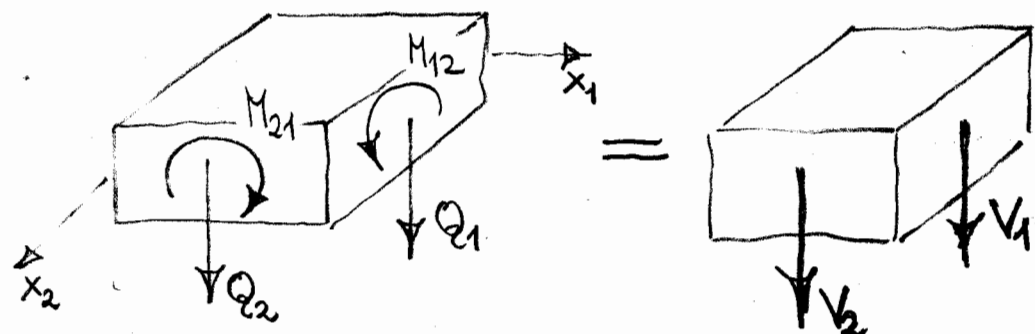
Zastępco siła poprzeczna na bregu:  $V_n \stackrel{\text{def}}{=} Q_n + \frac{\partial M_{ns}}{\partial s}$

(tarcze działanie siły poprzecznej i momentu skracającego)

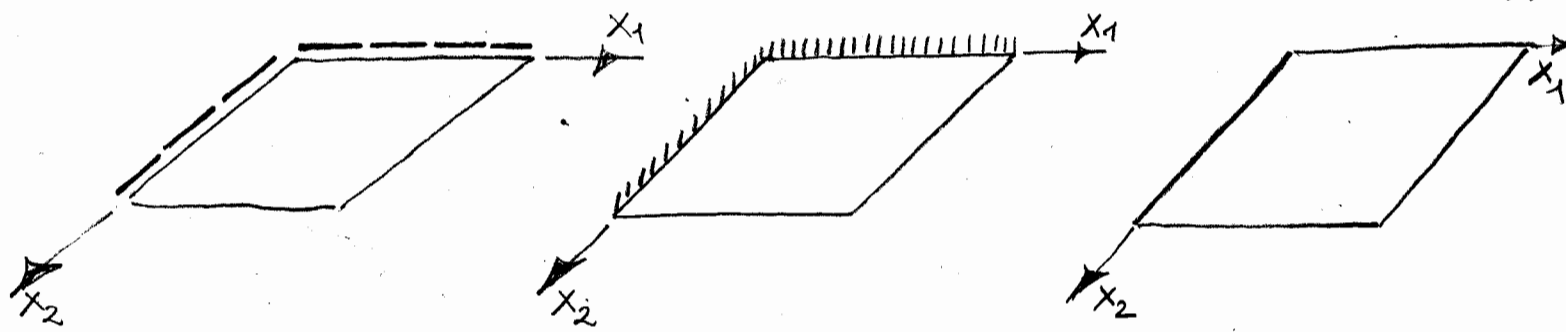
Szczegółowy zapis:

$$V_1 = Q_1 + \frac{\partial M_{12}}{\partial x_2}$$

$$V_2 = Q_2 + \frac{\partial M_{21}}{\partial x_1}$$



Sposoby podporcie płyt (warunki biegowe) – układ kontyjński



slobodne podpiercie

$$x_1=0: \begin{cases} w=0 \\ M_{11}=0 \Rightarrow w_{,1}=0 \end{cases}$$

$$x_2=0: \begin{cases} w=0 \\ M_{22}=0 \Rightarrow w_{,2}=0 \end{cases}$$

utwierdzenie

$$x_1=0: \begin{cases} w=0 \\ w_{,1}=0 \end{cases}$$

$$x_2=0: \begin{cases} w=0 \\ w_{,2}=0 \end{cases}$$

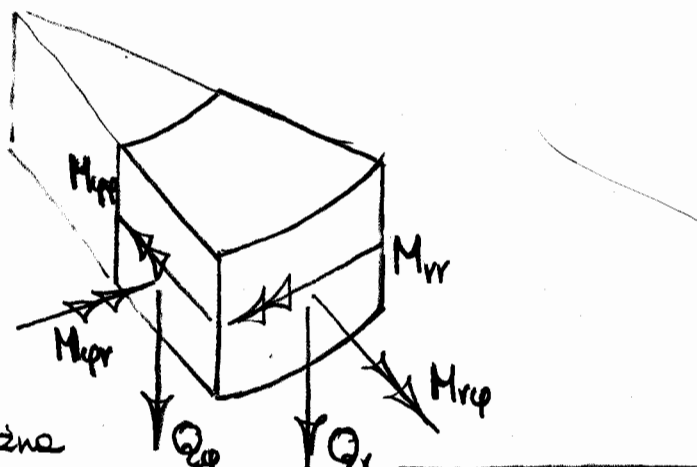
slobodny brzeg

$$x_1=0: \begin{cases} M_{11}=0 \\ v_1=0 \end{cases}$$

$$x_2=0: \begin{cases} M_{22}=0 \\ v_2=0 \end{cases}$$

## RÓWNANIE TEORII PŁYT W UKŁADZIE BIEGUNOWYM

Sily wejściowe płytowe  
jako wynikowe naprężenia  
w układzie biegunowym

M<sub>rr</sub> - radialny moment zginającyM<sub>pp</sub> - obrotowy moment zginającyM<sub>rp</sub> = M<sub>pr</sub> - momenty skręcająceQ<sub>r</sub>, Q<sub>p</sub> - sily poprzeczne

Korzystając z w.w. sił wejściowych wyliczyć możliwe

względem pochodnych funkcji ugęść W(r, phi)

$$\Delta(\Delta W) = \frac{q(r, \phi)}{D}, \quad \Delta W = W_{,rr} + \frac{1}{r} W_{,r\phi} + \frac{1}{r^2} W_{,\phi\phi}$$

Przypadek obrótowej symetrii płyty  $\rightarrow W = W(r)$ 

Równanie różniczkowe płyty - równanie różniczkowe zwanego

zachodzi wtedy  $\Delta W = \frac{\partial^2 W}{\partial r^2} + \frac{1}{r} \frac{\partial W}{\partial r} = \frac{1}{r} \frac{\partial}{\partial r} \left( r \frac{\partial W}{\partial r} \right)$ stąd przy danym  $q = q(r)$  możliwe bezpośrednie całkowanie

$$\text{Sily wejściowe płytowe: } M_{rr}(r) = -D \left( \frac{\partial^2 W}{\partial r^2} + \frac{1}{r} \frac{\partial W}{\partial r} \right)$$

$$M_{pp}(r) = -D \left( \frac{1}{r} \frac{\partial W}{\partial r} + \frac{1}{r^2} \frac{\partial^2 W}{\partial r^2} \right)$$

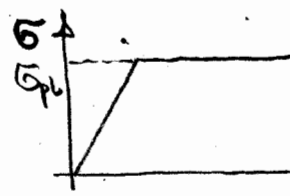
$$M_{rp} = M_{pr} = 0 \Rightarrow \text{sila zastępcza } V_r = Q_r$$

$$Q_r(r) = -D \frac{\partial}{\partial r} \left( \frac{\partial^2 W}{\partial r^2} + \frac{1}{r} \frac{\partial W}{\partial r} \right)$$

# ELEMENTY TEORII PLASTYCZNOŚCI

TS SW 12

Model materiału sprężysto plastycznego



Warunek plastyczności :  
w jednoosiowym stanie naprężenia

$$|\sigma| \leq \sigma_0$$

$\sigma_0 \rightarrow \sigma_{pl}$  - granica plastyczności  
ew.  $\sigma_T$  ( $R_t$  lub  $R_c$ )

w stanoiach 2D i 3D ( $\sigma = \sigma_{ij}$ )

→ Warunki plastyczności (hipotezy utrzymałościowe)

Ogólna postać warunku plastyczności:  $F(\sigma_{ij}, \sigma_0) = 0$

- składowe stanoi naprężenia zależne od wielkości stałej - materiał izotropowy i jednorodny, hipoteza jednosparametrowa → jedna wartość  $\sigma_0$  dla materiału

Dwa wybrane warunki plastyczności

- Warunek Treski lub Treski-Guesta (TG)

O granicy obszaru sprężystego (obszaru bezpieczenego) decyduje ekstremalne naprężenie styczne.

Pamiętanie:  $\tau_{max} = \max(\tau_1, \tau_2, \tau_3)$

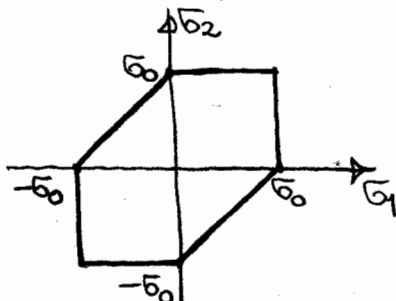
$$\tau_1 = \frac{|\sigma_2 - \sigma_3|}{2}, \quad \tau_2 = \frac{|\sigma_3 - \sigma_1|}{2}, \quad \tau_3 = \frac{|\sigma_1 - \sigma_2|}{2}$$

w stanoi jednoosiowego rozciąganie / ścislenie  $\tau_0 = \frac{\sigma_0}{2}$

w układzie naprężen głównych  $\{\sigma_1, \sigma_2, \sigma_3\}$  warunki:  
(równość - powierzchnie graniczne,  
odpowiednie nierówności - obszar bezpieczny - sprężysty  
lub obszar niebezpieczny - plastyczny)

- szesci一方面 pionowych w układzie przestrzennym  $\{\sigma_1, \sigma_2, \sigma_3\}$

Płaski stan naprężenia (PSN) -  $(\sigma_3 = 0) \rightarrow \begin{cases} |\sigma_1 - \sigma_2| = \sigma_0 \\ |\sigma_1| = \sigma_0 \\ |\sigma_2| = \sigma_0 \end{cases}$



w układzie przestrzennym - nieskończony

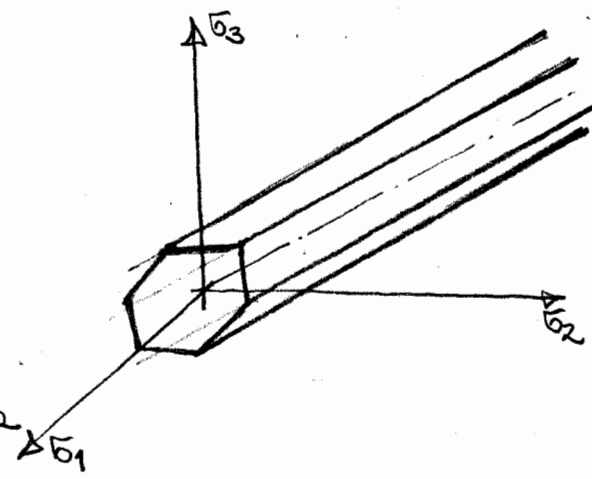
graniostęp przedstawiony sześciokątem

o osi dalej równaniem  $\sigma_1 = \sigma_2 = \sigma_3$

(jednakowo nachylonej do wszystkich osi  $\sigma_1, \sigma_2, \sigma_3$ )

sześciokąt PSN - przecięcie graniostępu

płaszczyzny  $\sigma_3 = 0$



• Warunek Hubera - von Misesa - Hencky (H-M-H)

Granica obszaru bezpiecznego (stanu sprężystego) określona jest przez wartość energii właściwej odkształcenia postaciowego.

Energia ta jest funkcją składowych stanu naprężenia, możliwe do wyznaczenia tak w układzie danym jak i w układzie osi głównych

$$W_g = \frac{1}{12G} \left[ (\bar{\sigma}_{11} - \bar{\sigma}_{22})^2 + (\bar{\sigma}_{22} - \bar{\sigma}_{33})^2 + (\bar{\sigma}_{33} - \bar{\sigma}_{11})^2 + 6(\bar{\sigma}_{12}^2 + \bar{\sigma}_{23}^2 + \bar{\sigma}_{13}^2) \right] = \\ = \frac{1}{12G} \left[ (\sigma_1 - \sigma_2)^2 + (\sigma_2 - \sigma_3)^2 + (\sigma_3 - \sigma_1)^2 \right]$$

$\sigma_1, \sigma_2, \sigma_3$  - naprężenia główne

W stanie jednoosiowym - rozciąganie / ściskanie naprężeniem  $\sigma_0$ , energia ta wynosi  $W_g = \frac{1}{12G} \cdot 2\sigma_0^2$

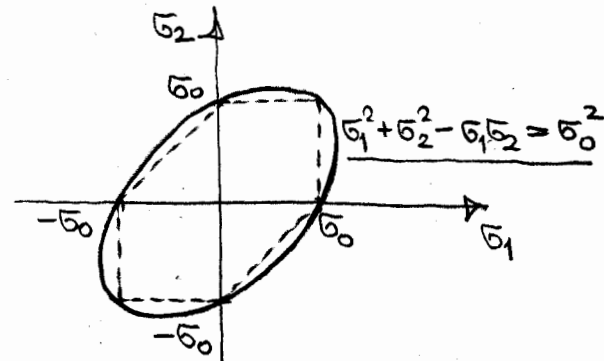
Z porównania wykresujemy równanie powierzchni plastyczności (stanu granicznego) wg hipotezy H-M-H:  $(\bar{\sigma}_{11} - \bar{\sigma}_{22})^2 + (\bar{\sigma}_{22} - \bar{\sigma}_{33})^2 + (\bar{\sigma}_{33} - \bar{\sigma}_{11})^2 + 6(\bar{\sigma}_{12}^2 + \bar{\sigma}_{23}^2 + \bar{\sigma}_{13}^2) = 2\sigma_0^2$   
lub  $(\sigma_1 - \sigma_2)^2 + (\sigma_2 - \sigma_3)^2 + (\sigma_3 - \sigma_1)^2 = 2\sigma_0^2$

Płaski stan naprężenia (PSN),  $\sigma_3 = 0$

- warunek  $\sigma_{11}^2 + \sigma_{22}^2 - \sigma_{11}\sigma_{22} + 3\sigma_{12}^2 = \sigma_0^2$

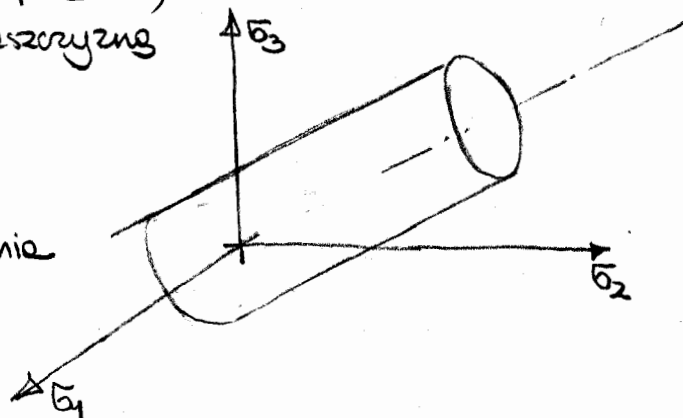
lub  $\sigma_1^2 + \sigma_2^2 - \sigma_1\sigma_2 = \sigma_0^2$

(prypadek inżynierski - zginanie ze ściskaniem  
 $\sigma_{11} = \sigma$ ,  $\sigma_{12} = \varepsilon \Rightarrow \sigma^2 + 3\varepsilon^2 = \sigma_0^2$ )



W układzie przestrzennym - nieskończony walec kotwicy o osi danej równaniem  $\sigma_1 = \sigma_2 = \sigma_3$ , elipsa PSN - precylindryczne walce płużorzące  $\sigma_3 = 0$

nys. powyżej, w układzie  $\sigma_1, \sigma_2$   
elipsa obrócona



\* Porównać warunki uplastycznienia TG i H-M-H w stanie czystego ściskania

$$\underline{\sigma} \equiv \underline{\sigma}_{ij} = \begin{bmatrix} 0 & \sigma_{12} & 0 \\ \sigma_{12} & 0 & 0 \\ 0 & 0 & 0 \end{bmatrix} \quad \sigma_{12} > 0$$

TG: naprężenia główne:  $\sigma_1 = \sigma_{12}$ ,  $\sigma_2 = 0$ ,  $\sigma_3 = -\sigma_{12}$

stąd  $\varepsilon_{max} = \frac{|\sigma_1 - \sigma_3|}{2} = \sigma_{12}$ . Warunek  $\varepsilon_{max} = \varepsilon_0 = \frac{\sigma_0}{2} \Rightarrow \sigma_{12} = \frac{\sigma_0}{2}$

H-M-H:  $L = 3\sigma_{12}^2 \quad P = \sigma_0^2$

$L = P \Rightarrow \sigma_{12} = \sigma_0 \sqrt{\frac{3}{3}} \approx 0,577\sigma_0$